

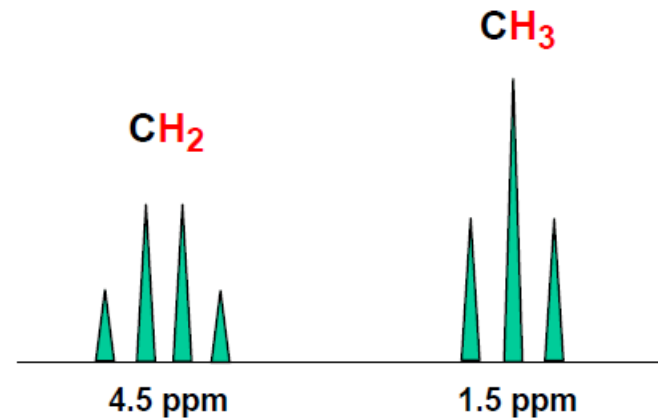
## Σύζευξη πρώτης τάξης μεταξύ χημικά ισοδύναμων πρωτονίων

Στο φάσμα  $^1\text{H NMR}$  της ένωσης  $\text{CH}_3\text{CH}_2\text{NO}_2$  παρατηρούμε:

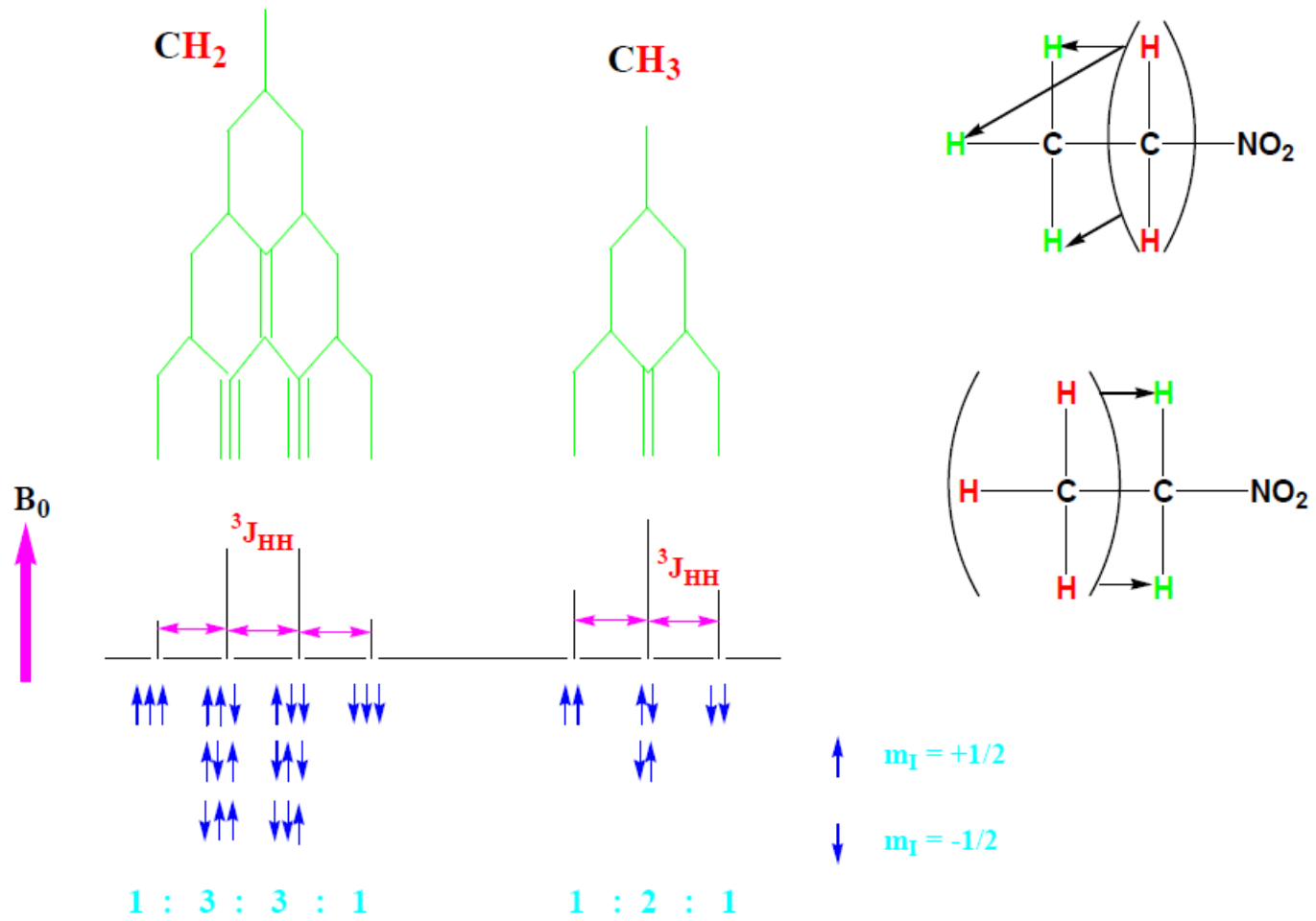
Μια τετραπλή κορυφή, η οποία οφείλεται στα δύο χημικά ισοδύναμα πρωτόνια  $\text{CH}_2$  και μια τριπλή κορυφή, η οποία οφείλεται στα τρία χημικά ισοδύναμα πρωτόνια  $\text{CH}_3$ .

Η σχετική ένταση των κορυφών στα 4.5 ppm είναι **1:3:3:1**, ενώ η σχετική ένταση των κορυφών στα 1.5 ppm είναι **1:2:1**.

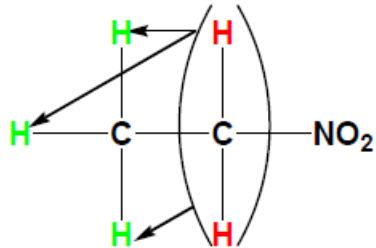
Οι συνιστώσες κορυφές σε κάθε πολλαπλή κορυφή ισαπέχουν. Η απόσταση αυτή είναι ίση με τα σταθερά σύζευξης.



## Σύζευξη πρώτης τάξης

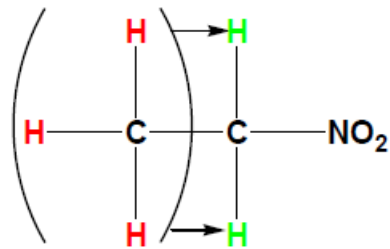


## Σύζευξη πρώτης τάξης (συνέχεια)



Το σχάσιμο της κορυφής ενός πρωτονίου λόγω σύζευξης με  $N$  γειτονικά πρωτόνια, ακολουθεί το γενικό κανόνα

$$N + 1$$

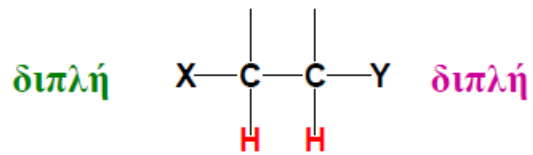


Ο αριθμός των συνιστωσών κορυφών ονομάζεται **πολλαπλότητα**

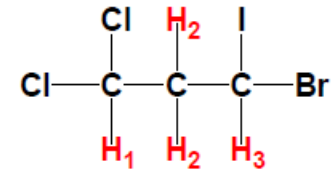
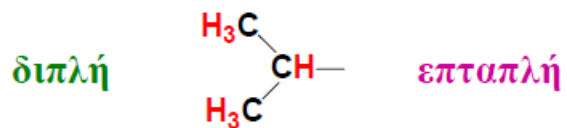
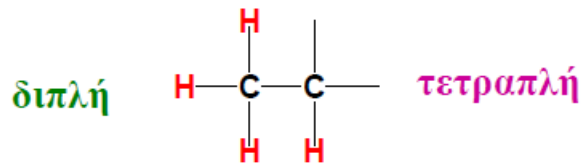
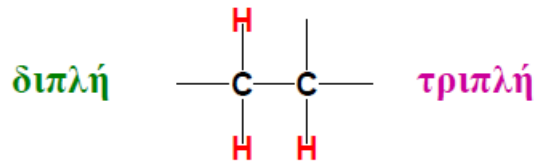
Τα  $\text{CH}_3$  έχουν δύο γειτονικά πρωτόνια, επομένως η πολλαπλότητα είναι  $2 + 1 = 3$  (τριπλή κορυφή).

Τα  $\text{CH}_2$  έχουν τρία γειτονικά πρωτόνια, επομένως η πολλαπλότητα είναι  $3 + 1 = 4$  (τετραπλή κορυφή).

## Σύζευξη πρώτης τάξης (...)



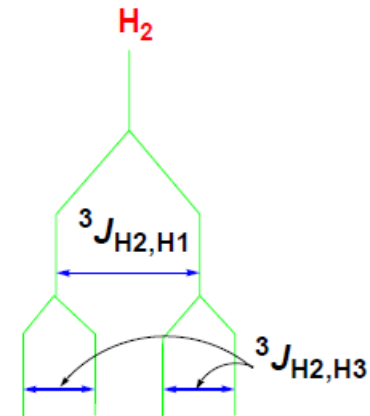
$$\text{X} \neq \text{Y}$$



$$\text{H}_1 \quad 2 + 1 = 3 \quad (\text{τριπλή κορυφή})$$

$$\text{H}_3 \quad 2 + 1 = 3 \quad (\text{τριπλή κορυφή})$$

$$\text{H}_2 \quad (1 + 1) (1 + 1) \quad (\text{διπλή της διπλής})$$

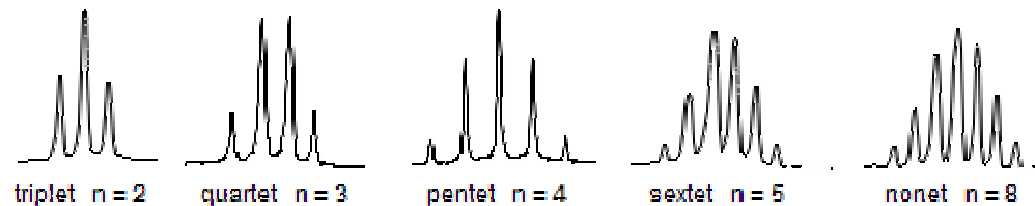


**Πολλαπλότητα =  $(N_1 + 1) (N_2 + 1) \dots$**

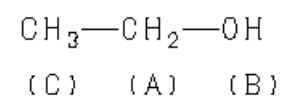
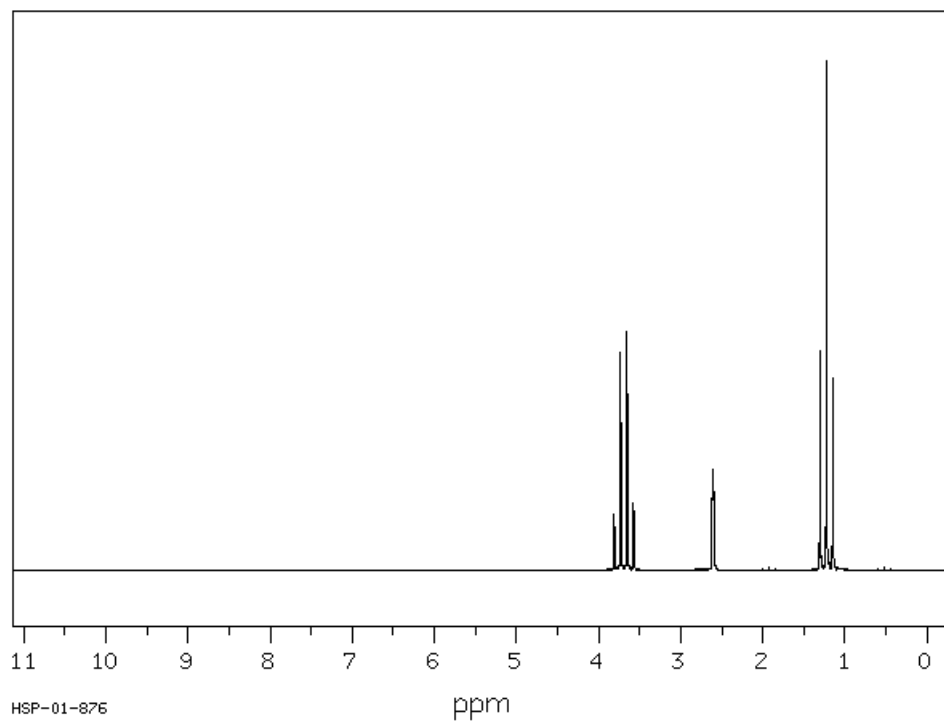
## Σύζευξη πρώτης τάξης (...)

Σχετική ένταση συνιστωσών κορυφών σε μια πολλαπλή κορυφή για πυρήνες με  $I = 1/2$  δίνεται από το τρίγωνο του Pascal.

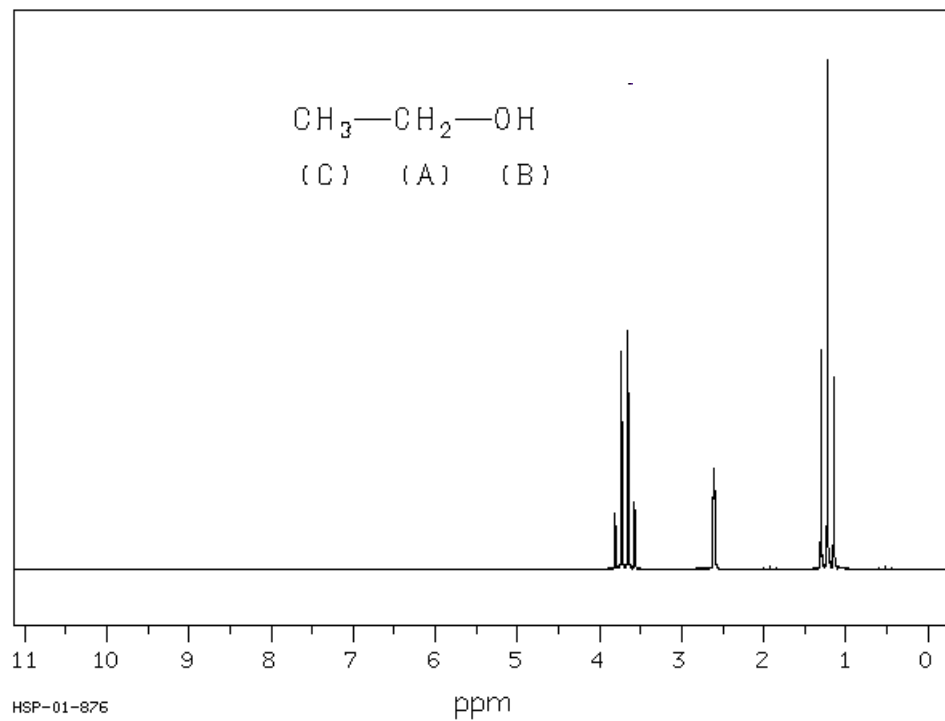
N	Ένταση κορυφών	Πολλαπλότητα	Πολλαπλή κορυφή
0	1	1	απλή
1	1 : 1	2	διπλή
2	1 : 2 : 1	3	τριπλή
3	1 : 3 : 3 : 1	4	τετραπλή
4	1 : 4 : 6 : 4 : 1	5	πενταπλή
5	1 : 5 : 10 : 10 : 5 : 1	6	εξαπλή
6	1 : 6 : 15 : 20 : 15 : 6 : 1	7	επταπλή



# Homonuclear coupling



## Homonuclear coupling



Assign.      Shift(ppm)

A              3.687

B              2.61

C              1.226

singlet

1

doublet

1    1

triplet

1    2    1

quartet

1    3    3    1

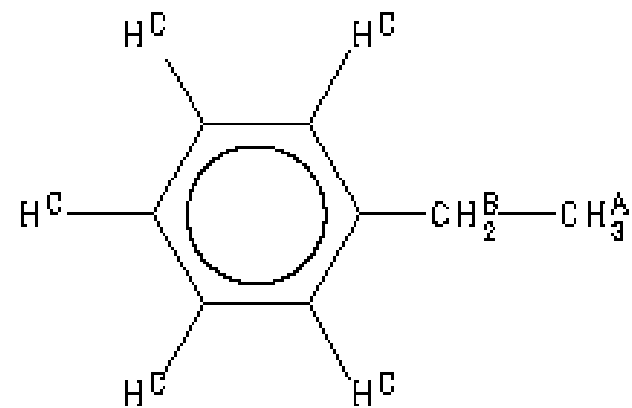
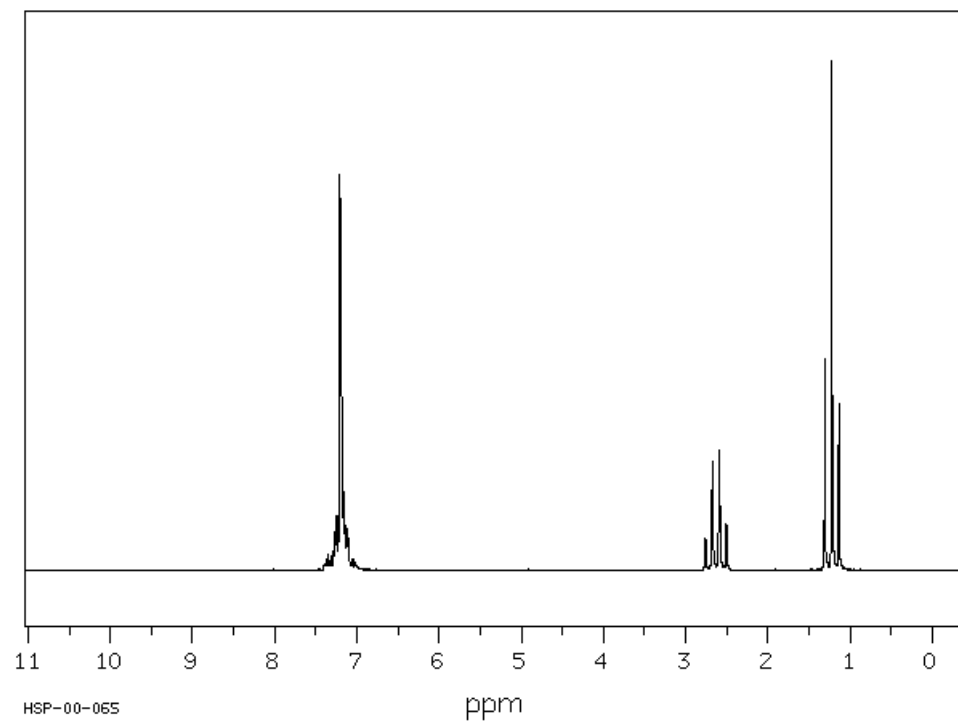
quintet

1    4    6    4    1

sextet

1    5    10    10    5    1

# Toluene



Assign.	Shift(ppm)
A	1.22
B	2.63
C	7.0 to 7.45



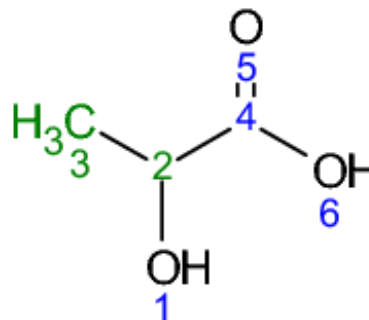
Lactic acid

HMDB00190

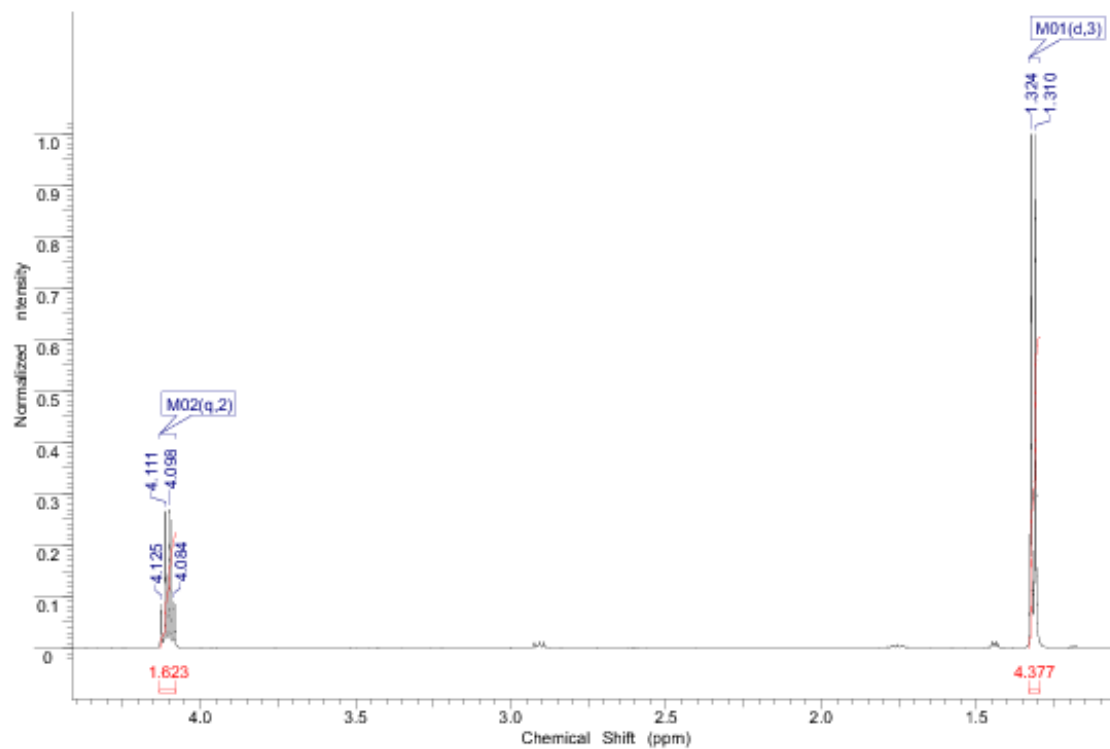
$^1\text{H}$  NMR Spectrum: 500 MHz,  $\text{D}_2\text{O}$

Sample: 50 mM at pH 7.0

Referenced to DSS



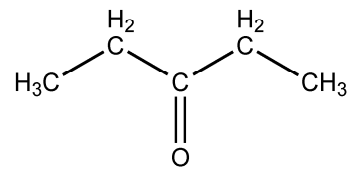
Zoomed  $^1\text{H}$  NMR spectrum



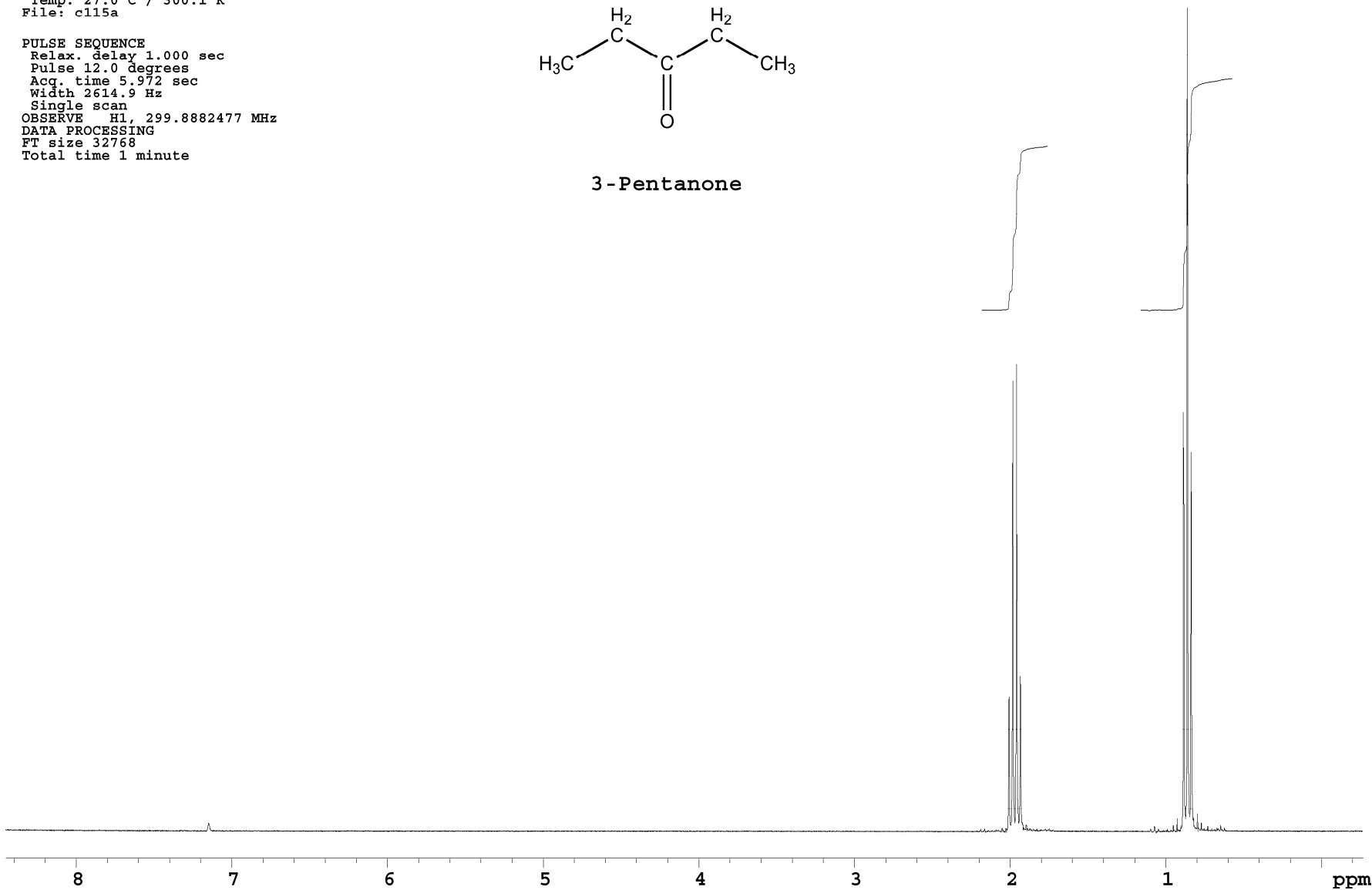
singlet					1		
doublet			1		1		
triplet			1	2		1	
quartet			1	3	3	1	
quintet			1	4	6	4	1
sextet	1	5	10	10	5	1	

3-pentanone  
c6d6  
c115a  
Solvent: Benzene  
Temp. 27.0 C / 300.1 K  
File: c115a

PULSE SEQUENCE  
Relax. delay 1.000 sec  
Pulse 12.0 degrees  
Acq. time 5.972 sec  
Width 2614.9 Hz  
Single scan  
OBSERVE H1, 299.8882477 MHz  
DATA PROCESSING  
FT size 32768  
Total time 1 minute

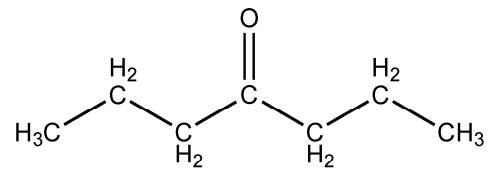


3-Pentanone

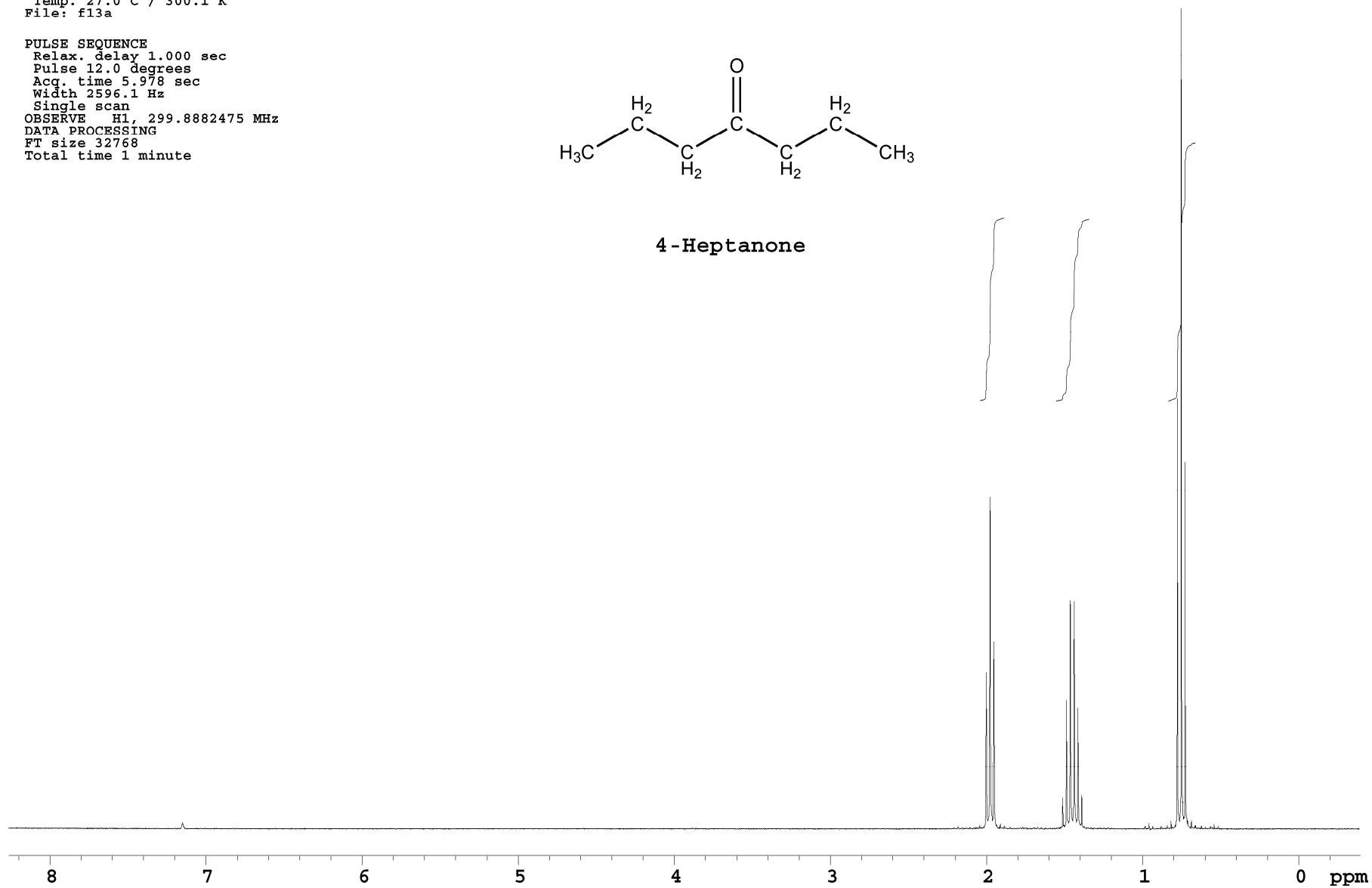


4-heptanone  
c6d6  
f13a  
Solvent: Benzene  
Temp. 27.0 C / 300.1 K  
File: f13a

PULSE SEQUENCE  
Relax. delay 1.000 sec  
Pulse 12.0 degrees  
Acq. time 5.978 sec  
Width 2596.1 Hz  
Single scan  
OBSERVE H1, 299.8882475 MHz  
DATA PROCESSING  
FT size 32768  
Total time 1 minute

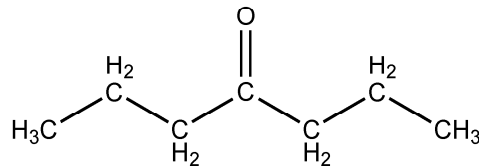


4-Heptanone

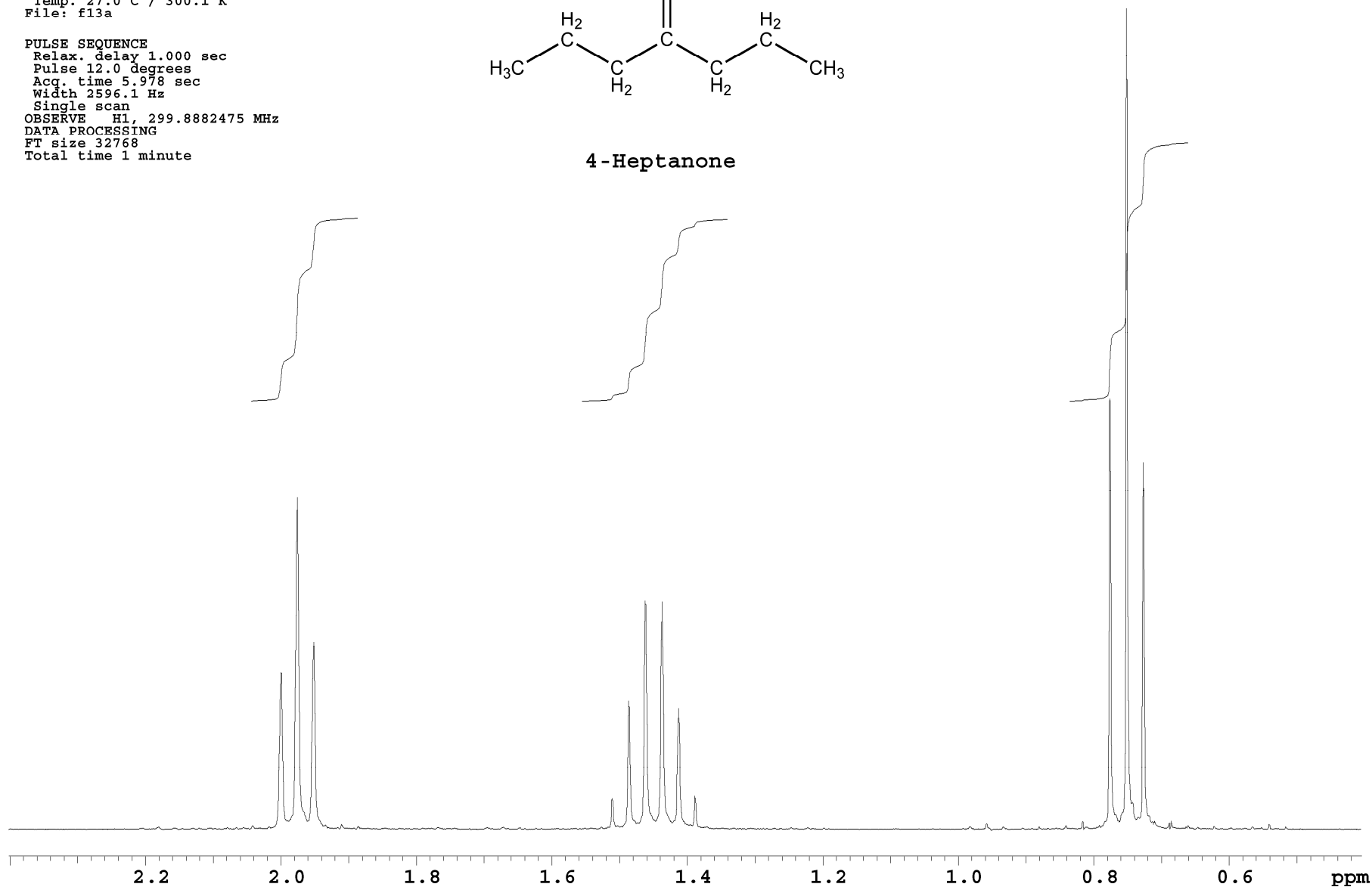


4-heptanone  
c6d6  
f13a  
Solvent: Benzene  
Temp. 27.0 C / 300.1 K  
File: f13a

PULSE SEQUENCE  
Relax. delay 1.000 sec  
Pulse 12.0 degrees  
Acq. time 5.978 sec  
Width 2596.1 Hz  
Single scan  
OBSERVE H1, 299.8882475 MHz  
DATA PROCESSING  
FT size 32768  
Total time 1 minute

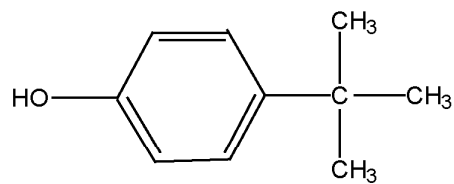


4-Heptanone

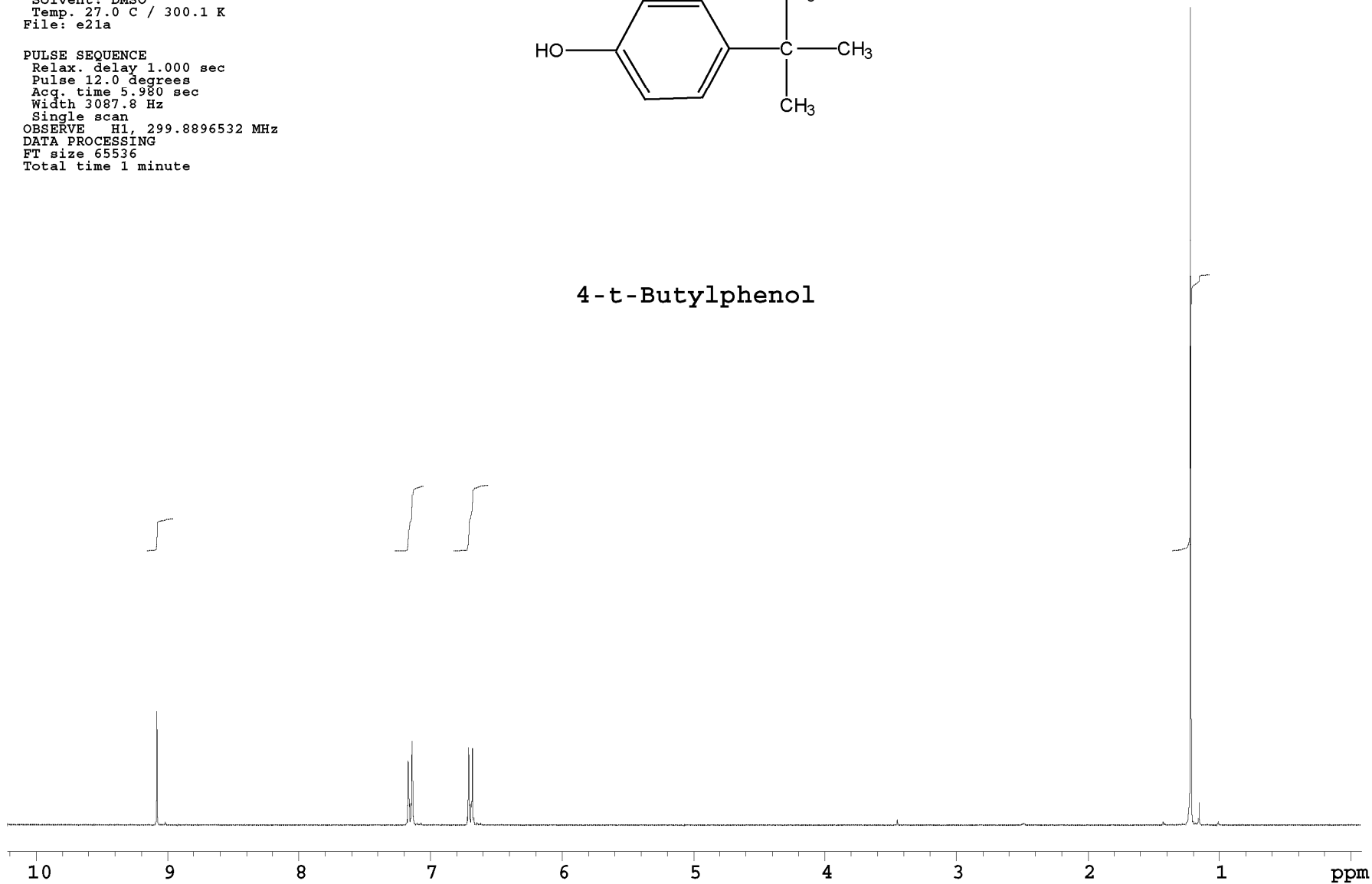


4-t-Butylphenol  
DMSO-d6  
Shoulders  
e21a  
Solvent: DMSO  
Temp. 27.0 C / 300.1 K  
File: e21a

PULSE SEQUENCE  
Relax. delay 1.000 sec  
Pulse 12.0 degrees  
Acq. time 5.980 sec  
Width 3087.8 Hz  
Single scan  
OBSERVE H1, 299.8896532 MHz  
DATA PROCESSING  
FT size 65536  
Total time 1 minute



4-t-Butylphenol

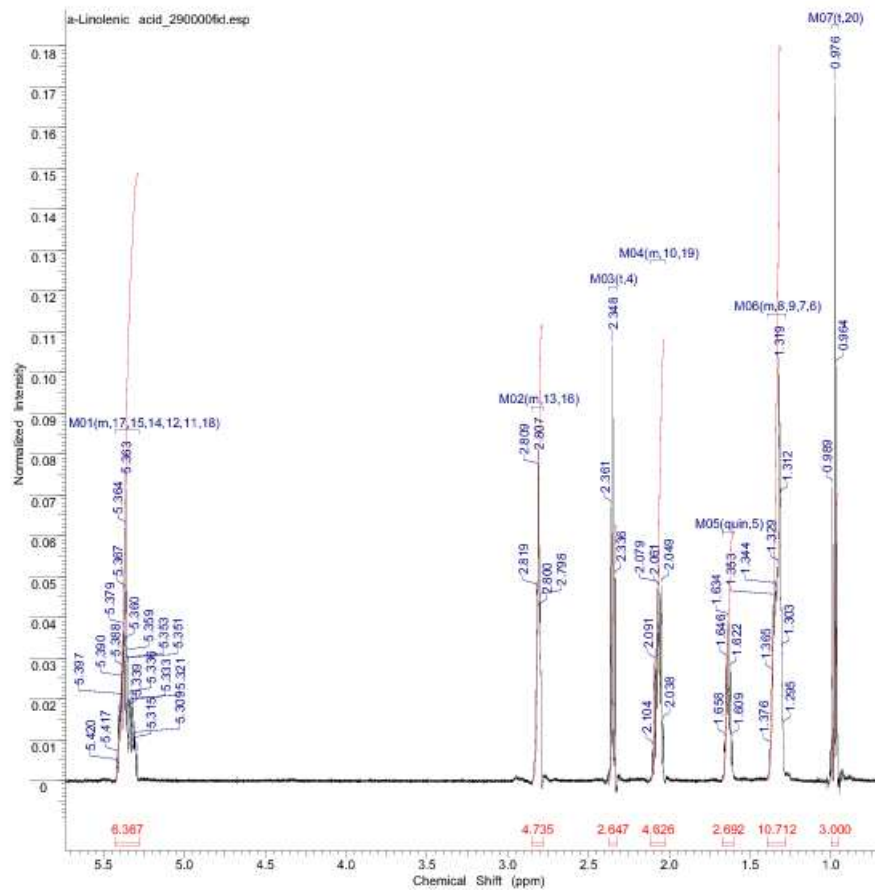
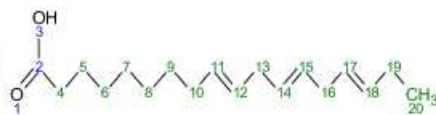


$\alpha$ -Linolenic acid (HMDB01388)

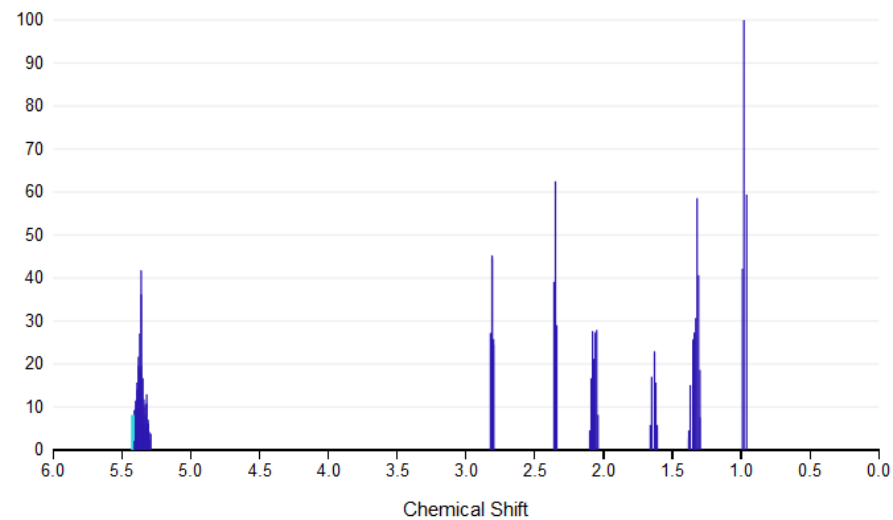
$^1\text{H}$  NMR spectrum: 600 MHz in  $\text{CDCl}_3$

Sample: 50 mM

Referenced to TMS



### $^1\text{H}$ NMR Spectrum (HMDB01388)



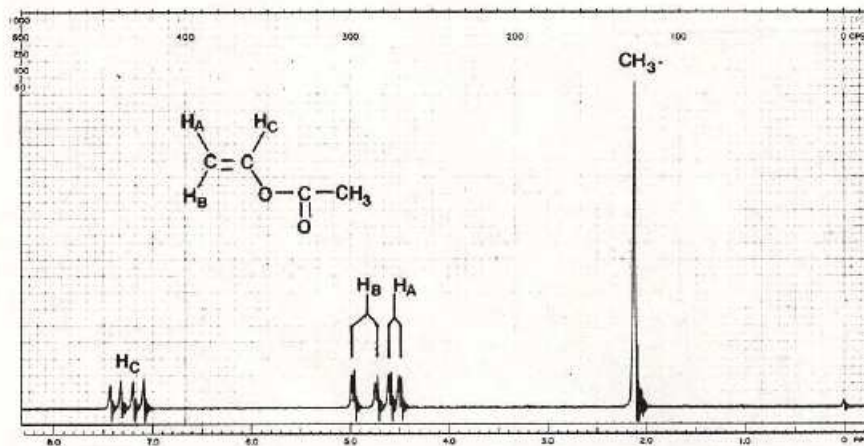


FIGURE 4-12 The NMR Spectrum of Vinyl Acetate

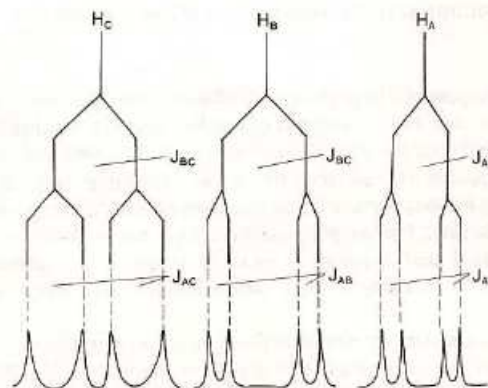
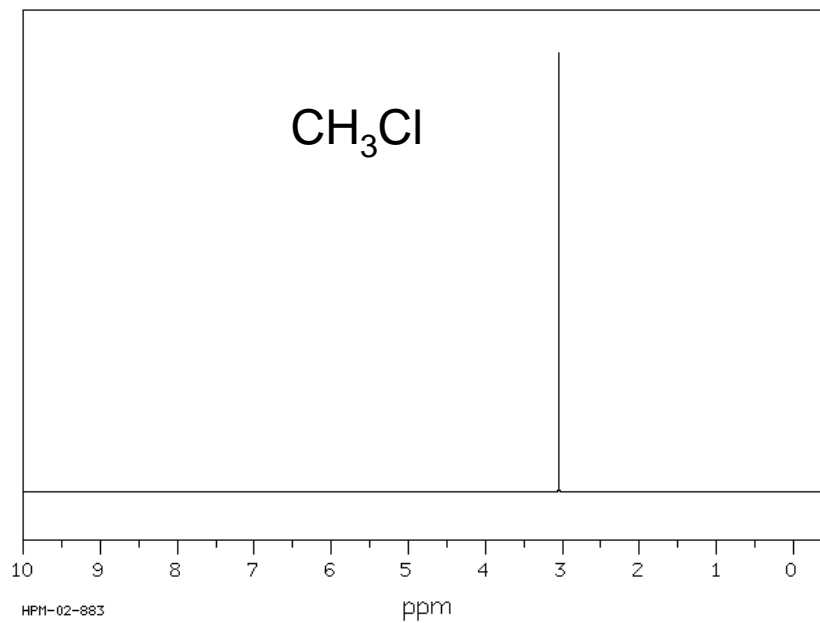
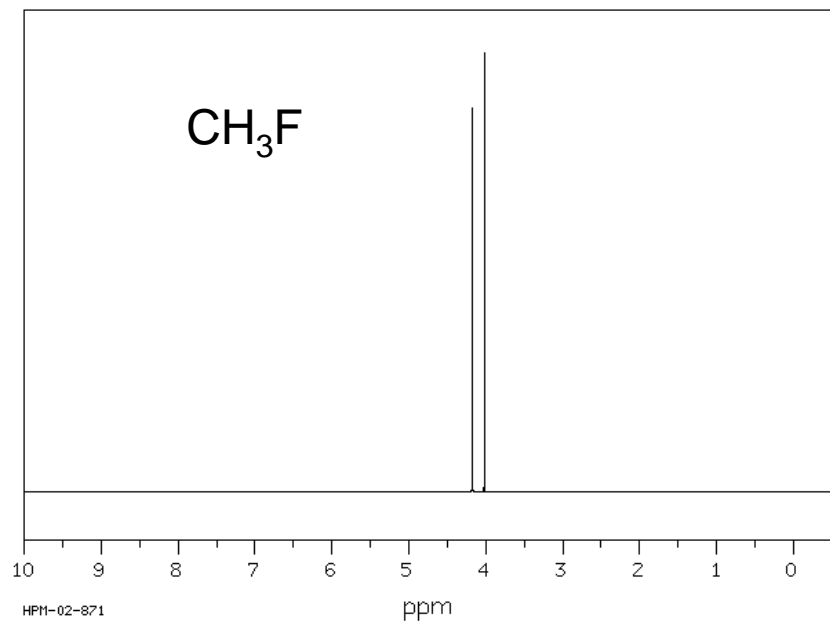


FIGURE 4-13 A Graphical Analysis of the Splittings in Vinyl Acetate

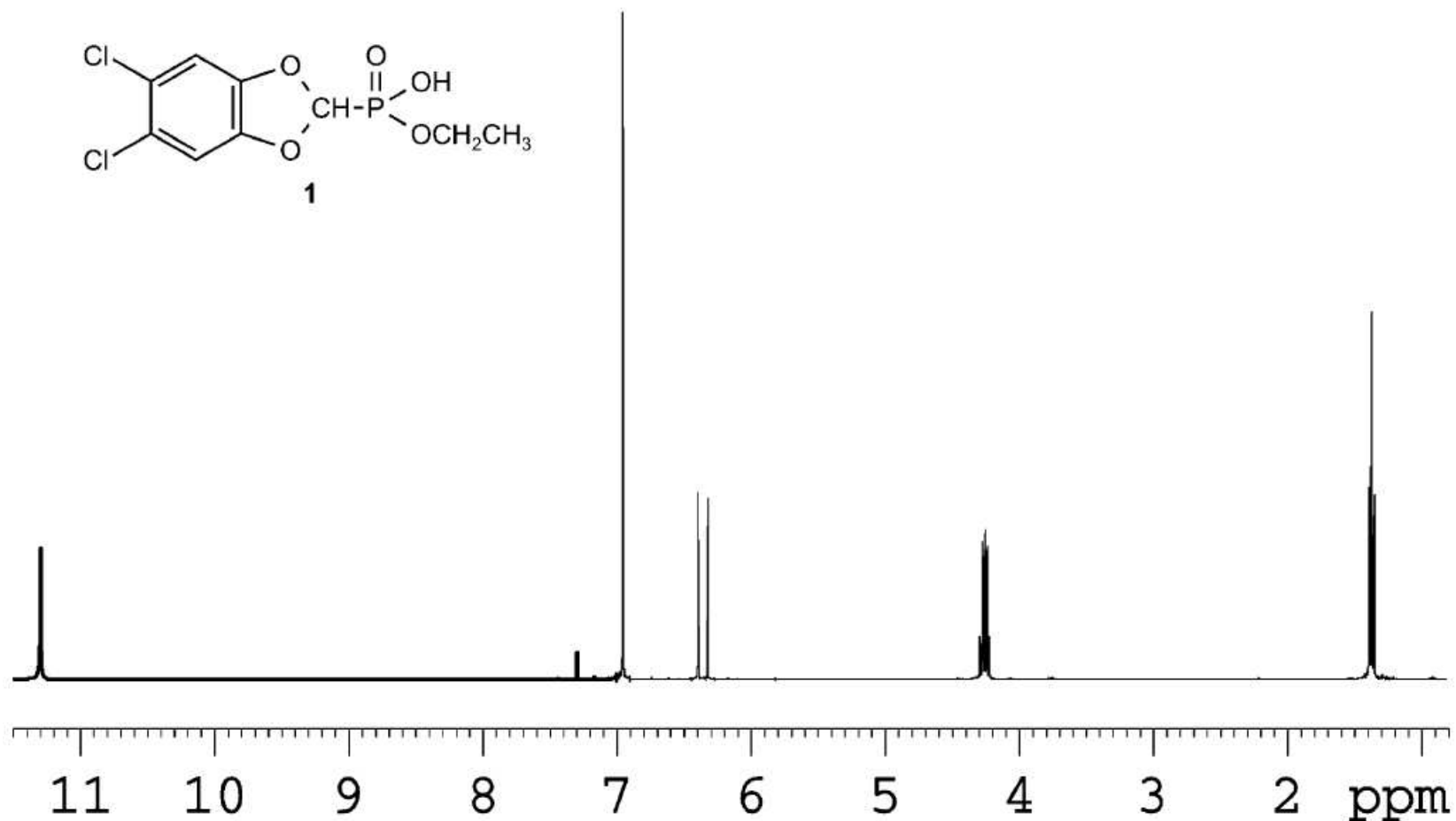
## Heteronuclear coupling



singlet						1
doublet				1		1
triplet			1	2		1
quartet		1	3	3		1
quintet		1	4	6	4	1
sextet	1	5	10	10	5	1



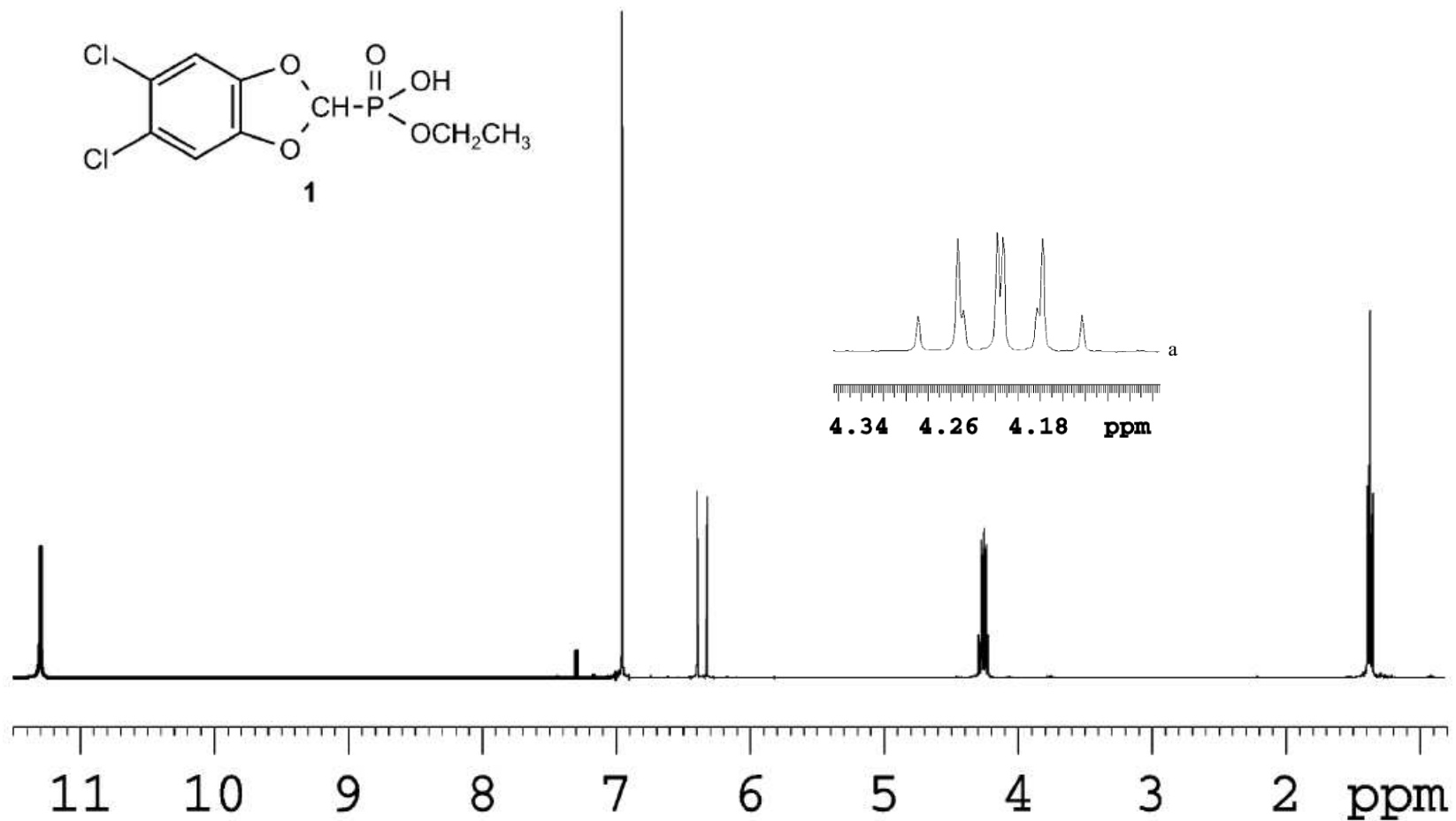
### 1.1.1 Proton NMR Spectrum of the Model Compound 1



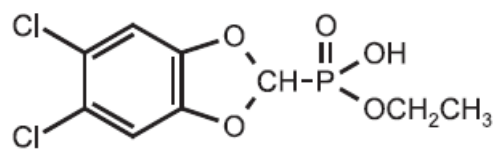
**Fig. 1** Proton spectrum of compound 1 at 200 MHz. Signal assignment (from *left to right*): OH proton (singlet), aromatic protons (singlet), methine proton (doublet), OCH<sub>2</sub> protons (*apparently* a quintet), CH<sub>3</sub> protons, triplet. The small signal at 7.24 ppm is due to CHCl<sub>3</sub>

**Table 1** Result of a prediction compared with the actual values

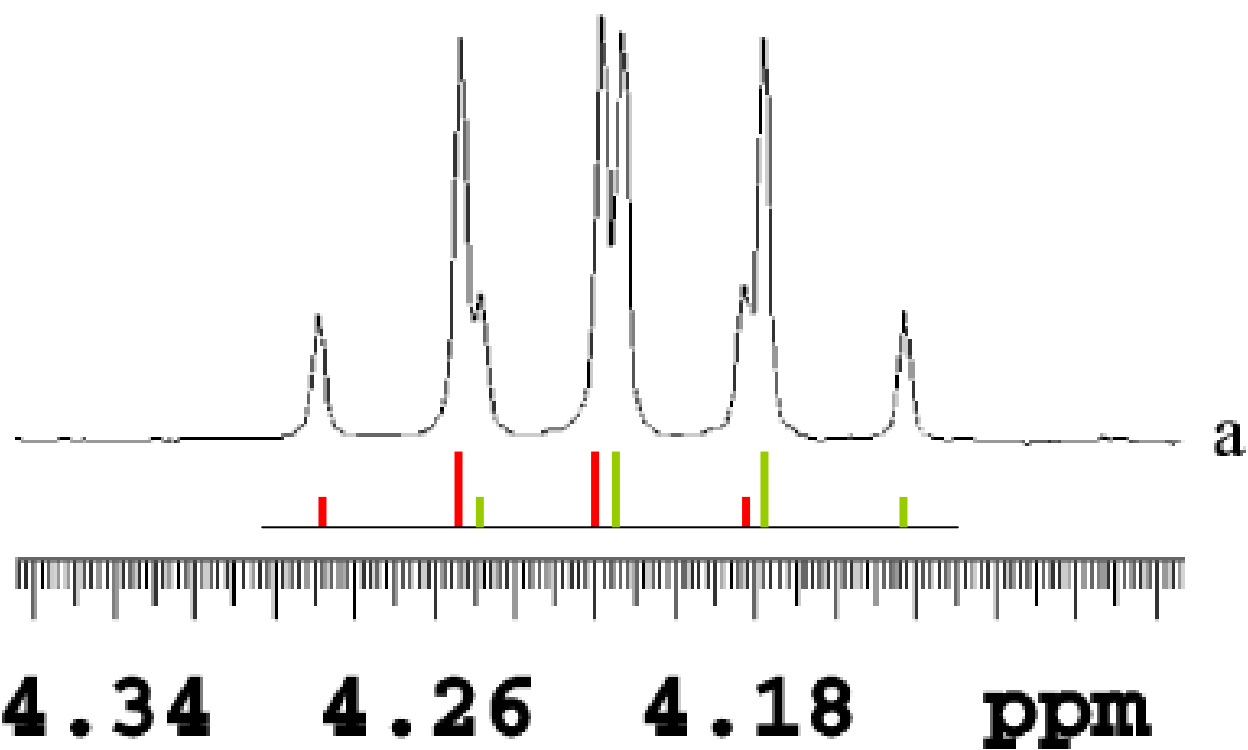
Chemical shift (ppm)	$J_{\text{HP}}$ (Hz)	Chemical shift (calc.)	$J_{\text{HP}}$ (calc.)	Assignment
11.58	0	10.6	0	OH
6.92	not observed	7.0	0.3	$\text{CH}_{\text{arom}}$
6.32	28.7	6.6	16.9	CH-P
4.20	8.0	4.2	8.4	$\text{CH}_2$
1.33	0.6	1.3	1.0	$\text{CH}_3$

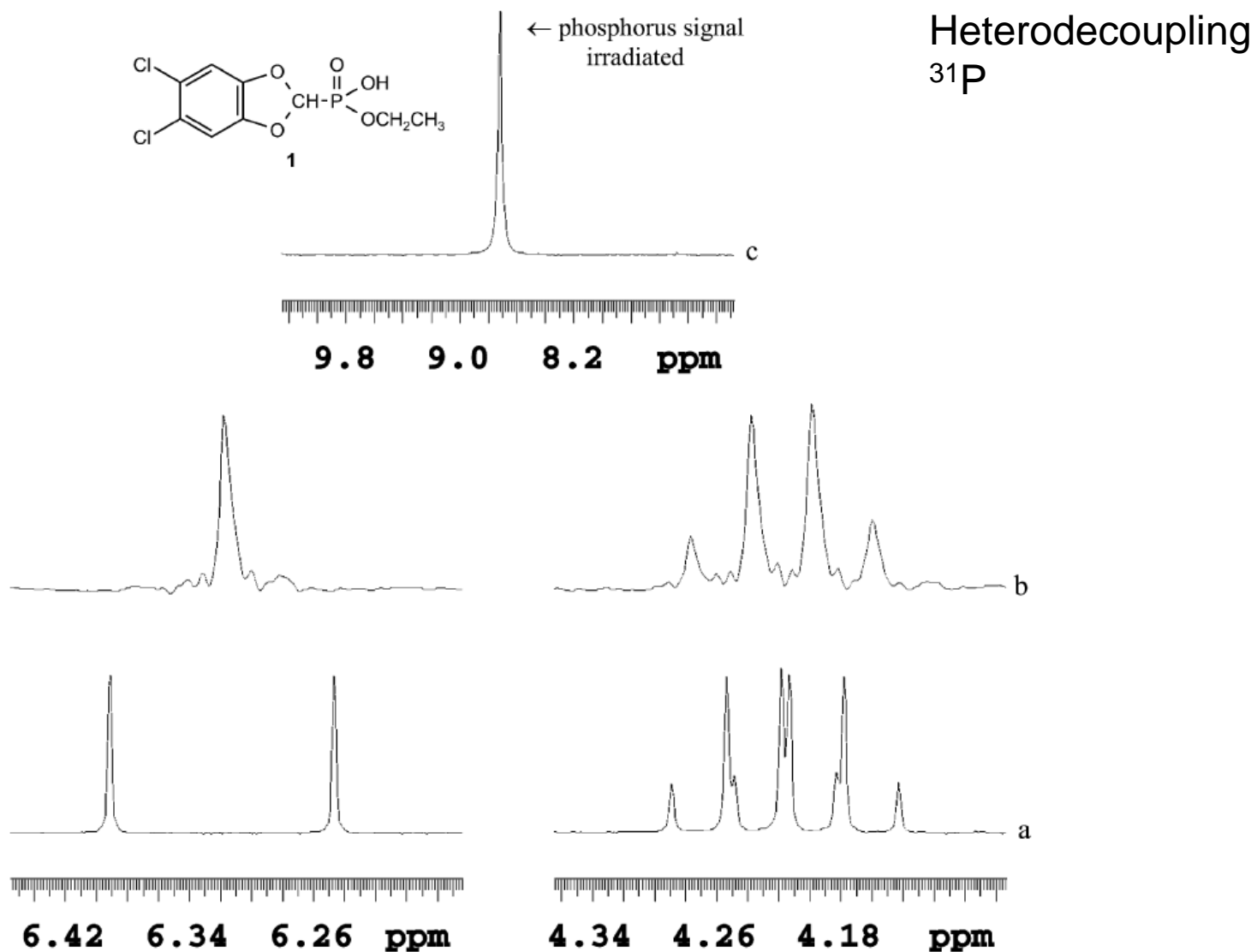


**Fig. 1** Proton spectrum of compound 1 at 200 MHz. Signal assignment (from *left to right*): OH proton (singlet), aromatic protons (singlet), methine proton (doublet), OCH<sub>2</sub> protons (*apparently* a quintet), CH<sub>3</sub> protons, triplet. The small signal at 7.24 ppm is due to CHCl<sub>3</sub>



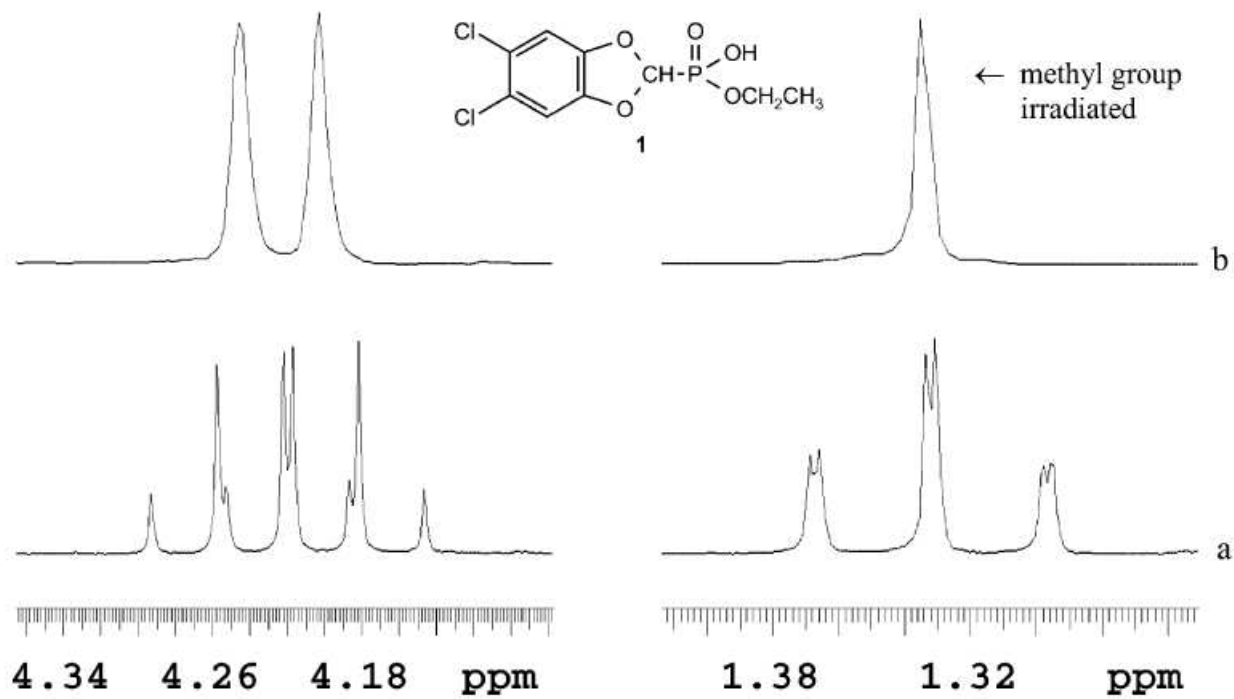
1





**Fig. 2a-c** Heterodecoupling experiment on compound 1 (at 200 MHz). a Undecoupled methine and methylene signals; b signals after decoupling of the phosphorus. c <sup>31</sup>P spectrum, showing the signal which is irradiated using the decoupling channel (channel 2)

# Homodecoupling $^1\text{H}$



**Fig. 3a,b** Homodecoupling experiment on compound 1 (at 200 MHz). a Undecoupled methylene and methyl signals; b signals after irradiation of the methyl group